

HW3

HW3_1 KKT

$$\begin{aligned} \min_{x \in \mathbb{R}^n} & \frac{1}{2} x^T Q x + c^T x \\ \text{s.t.} & Ax = b \end{aligned}$$

stationarity

if $Q = Q^T$, then

$$\begin{aligned} \frac{\partial}{\partial x} \left(\frac{1}{2} x^T Q x + c^T x + v^T (Ax - b) \right) \Big|_{x=x^*} &= 0 \\ Qx^* + A^T v^* &= -c \end{aligned}$$

primal feasibility

$$Ax^* = b$$

KKT condition

$$\begin{bmatrix} Q & A^T \\ A & 0 \end{bmatrix} \begin{bmatrix} x^* \\ v^* \end{bmatrix} = \begin{bmatrix} -c \\ b \end{bmatrix}$$

例

$$\begin{aligned} \min_{x \in \mathbb{R}^n} & \frac{1}{2} x^T \begin{bmatrix} 1 & 2 \\ 3 & 4 \end{bmatrix} x + \begin{bmatrix} 5 \\ 6 \end{bmatrix}^T x \\ \text{s.t.} & \begin{bmatrix} 7 & 8 \end{bmatrix} x = 9 \end{aligned}$$

则

$$\begin{bmatrix} x^* \\ v^* \end{bmatrix} = \begin{bmatrix} 1 & 2 & 7 \\ 3 & 4 & 8 \\ 7 & 8 & 0 \end{bmatrix}^{-1} \begin{bmatrix} -5 \\ -6 \\ 9 \end{bmatrix} = \begin{bmatrix} -6.2 \\ 6.55 \\ -1.7 \end{bmatrix}$$
$$f_{min} = 11.8$$

且 x^* 满足等式约束。

HW3_2 Low-Dimensional QP

```

LowDimMinNorm( $\mathcal{H}$ )
  if  $\dim(\mathcal{H}) = 1$ 
     $y \leftarrow \text{OneDimMinNorm}(\mathcal{H})$ 
  end if
   $\mathcal{I} \leftarrow \{\}$ 
  for  $h \in \mathcal{H}$  in a random order
    if  $y \notin h$ 
       $\{M, v, \mathcal{H}'\} \leftarrow \text{HouseholderProj}(\mathcal{I}, h)$ 
       $y' \leftarrow \text{LowDimMinNorm}(\mathcal{H}')$ 
       $y \leftarrow My' + v$ 
    end if
     $\mathcal{I} \leftarrow \mathcal{I} \cup \{h\}$ 
  end for
return  $y$ 

```

Householder reflection

对于违反当前最优解的 d 维新约束 $g^T y \leq f$ ，要将之前的约束 h_i 都投影到新约束的边界： $h: g^T y = f$ 上，就要找到 h 上的一组 $d-1$ 维标准正交基，可以使用 Householder reflection 得到这组标准正交基。

首先将 d 维单位向量 I_d 的第 i 个元素乘以 $-\text{sgn}(g_i)\|g\|$ ，其中 $i = \arg\max_k |g_k|$ ，只要将 I_d 通过标准正交变换 H^{-1} ，将 $-\text{sgn}(g_i)\|g\|e_i$ 变换为 g ，则 I_d 中剩余的单位向量则为 h 上的一组 $d-1$ 维标准正交基。

令

$$u = g + \text{sgn}(g_i)\|g\|e_i$$

则

$$g - 2g^T \frac{u}{\|u\|} \frac{u}{\|u\|} = -\text{sgn}(g_i)\|g\|e_i$$

整理可得

$$Hg = -\text{sgn}(g_i)\|g\|e_i$$

其中

$$H = I_d - \frac{2uu^T}{u^T u}$$

则新约束为

$$\begin{aligned}h' &= Hh \\ &= h + \left(-\frac{2}{u^T u} u^T h\right)u \\ f' &= f + v^T h\end{aligned}$$

结果

```
# ck1201 @ ck1201-ubuntu20 in ~/workspace
/low-dim QP/build [13:03:52]
$ ./sdqp_example
optimal sol: 4.11111 9.15556 4.50022
optimal obj: 201.14
cons precision: 0
```

Collision Distance Compute

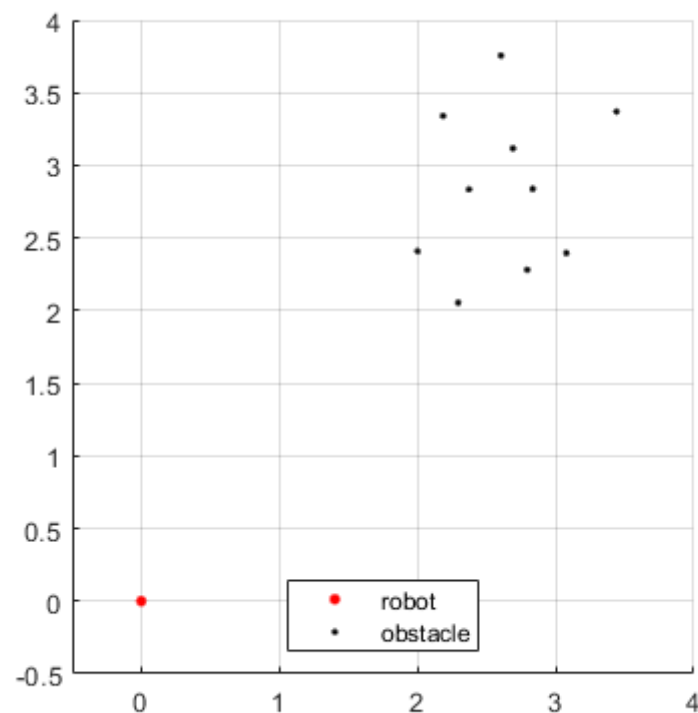
对于最小障碍物距离的计算,可以通过求解以下优化问题得到,其中, $v_i, i = 1, \dots, m$ 为 m 个障碍物点云的坐标, x_{robot} 为机器人坐标

$$\begin{aligned}\min_{z \in \mathbb{R}^d} & z^T z \\ \text{s.t. } & (v_i - x_{robot})^T z \geq 1, \forall i \in \{1, \dots, m\}\end{aligned}$$

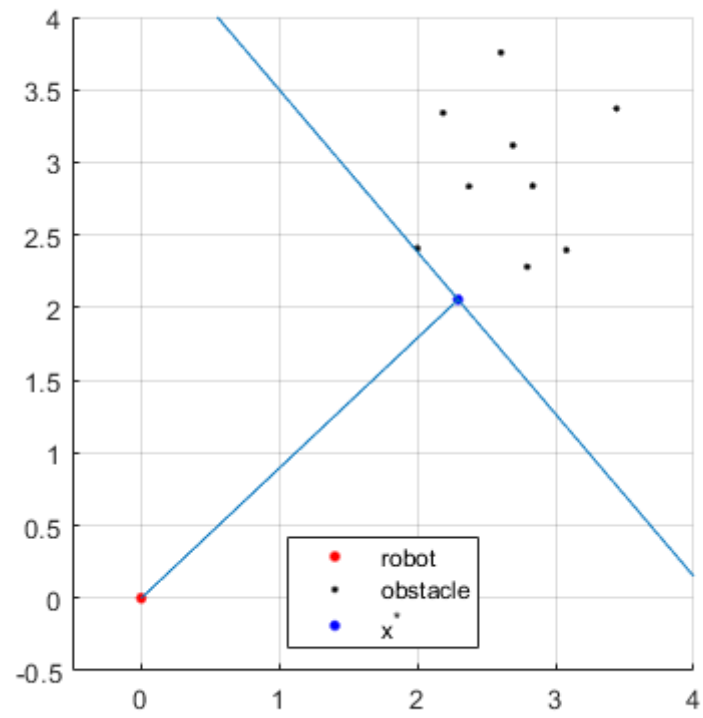
最终得到离机器人最近的障碍物点为 $x = y + x_{robot} = z / (z^T z) + x_{robot}$

结果

机器人和障碍物点云信息如图所示

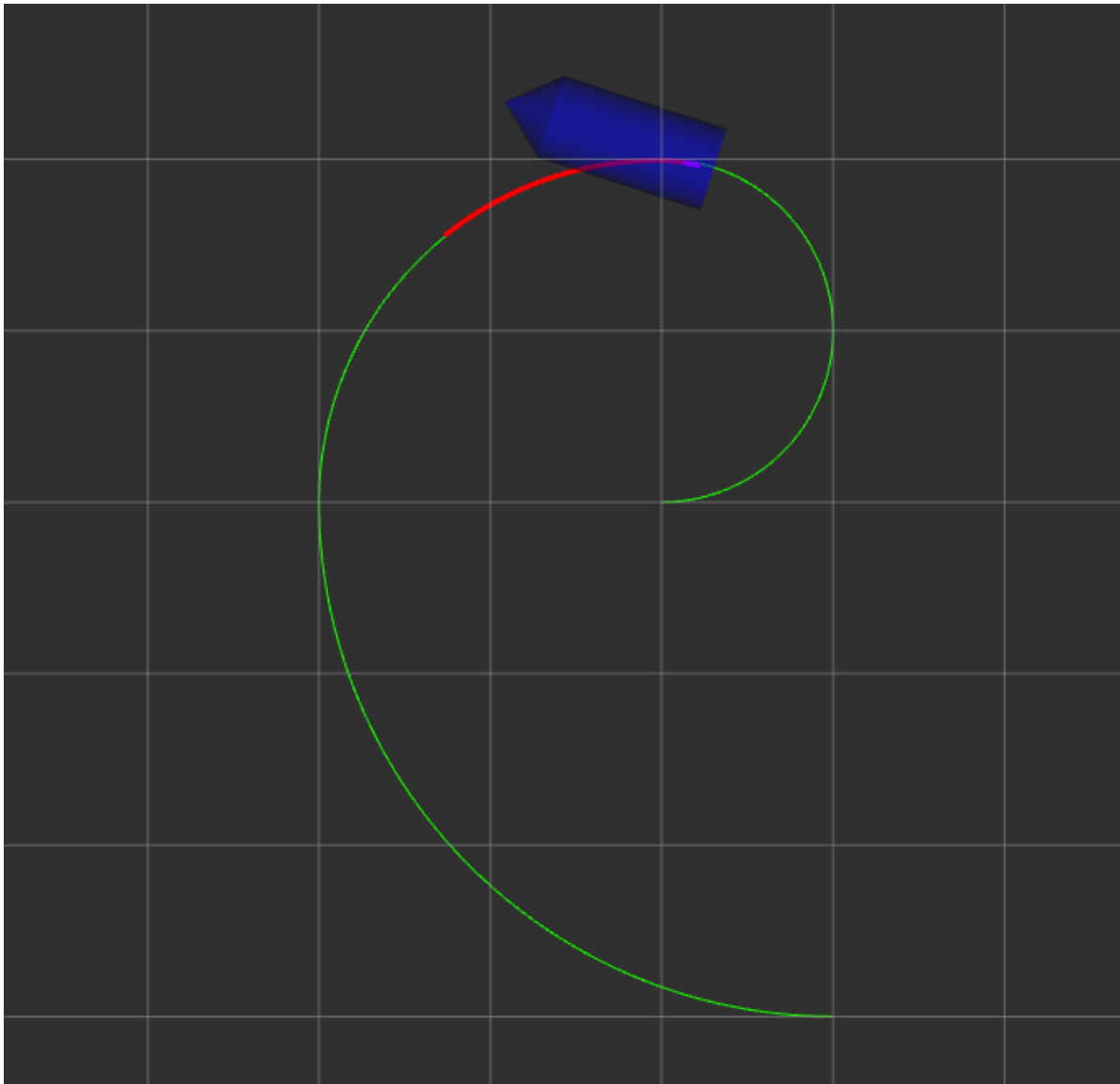


使用 SDQP 优化得到 $x^* = \begin{bmatrix} 2.29351 \\ 2.05478 \end{bmatrix}$, 最短距离为 3.07933, 结果如下图所示。



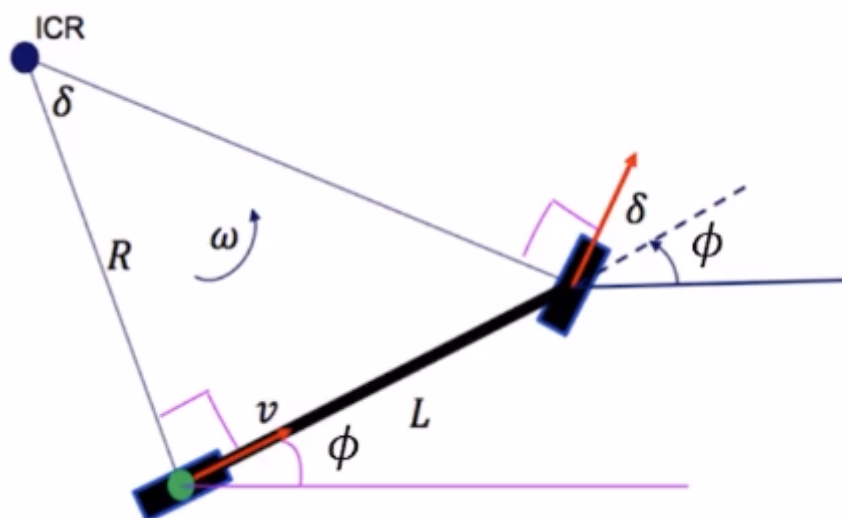
HW3_3 NMPC

Run the solveNMPC example



Use PHR-ALM to replace the Penalty Method in solveNMPC

建模



$$\begin{aligned} \min_{s_1, \dots, s_N, u_0, \dots, u_N} \quad & J(s_1, \dots, s_N, u_0, \dots, u_N) \\ \text{s.t.} \quad & F(s_k, u_k) = s_{k+1}, \forall i \in \{0, \dots, N\} \\ & G(s_k, u_k) \leq 0, \quad \forall i \in \{0, \dots, N\} \end{aligned}$$

其中, $s_k = [x_k, y_k, \phi_k, v_k]^T$ 为状态变量, $u_k = [a_k, \delta_k]^T$ 为输入变量, $F(s_k, u_k) = s_{k+1}$ 为系统方程

$$\begin{cases} \dot{x} = v \cos(\phi) \\ \dot{y} = v \sin(\phi) \\ \dot{\phi} = v \tan(\delta)/L \\ \dot{v} = a \end{cases}$$

$G(s_k, u_k) \leq 0$ 为状态和输入约束

$$\begin{aligned} \forall k \in \{0, \dots, N\} \\ a_{\min} \leq a_k \leq a_{\max} \\ \delta_{\min} \leq \delta_k \leq \delta_{\max} \\ v_{\min} \leq v_k \leq v_{\max} \end{aligned}$$

目标函数为

$$J(s_1, \dots, s_N, u_0, \dots, u_N) := \sum_{k=1}^N \left[(x_k - x_k^{\text{ref}})^2 + (y_k - y_k^{\text{ref}})^2 + w_v (a_k - a_{k-1})^2 + w_\delta (\delta_k - \delta_{k-1})^2 \right]$$

进一步, 消除模型中的系统方程等式约束, 将目标函数和不等式约束转化为只与 $u_{0:N}$ 有关的函数

$$\begin{aligned} \min_{u_{0:N}} \quad & J(s_1(u_{0:N}), \dots, s_N(u_{0:N}), u_{0:N}) \\ \text{s.t.} \quad & G(s_k(u_{0:N}), u_k) \leq 0, \forall i \in \{0, \dots, N\} \end{aligned}$$

引入辅助变量 s , 使得

$$G(s_k(u_{0:N}), u_k) + [s]^2 = 0$$

由 PHR-ALM 可得 Lagrangian 函数为

$$\mathcal{L}_\rho(u_{0:N}, \mu) := J(s_1(u_{0:N}), \dots, s_N(u_{0:N}), u_{0:N}) + \frac{\rho}{2} \left\| \max \left[G(s_k(u_{0:N}), u_k) + \frac{\mu}{\rho}, 0 \right] \right\|^2$$

则

$$\begin{cases} u_{0:N} \leftarrow \underset{u_{0:N}}{\operatorname{argmin}} \mathcal{L}_\rho(u_{0:N}, \mu) \\ \mu \leftarrow \max[\mu + \rho G(s_k(u_{0:N}), u_k), 0] \\ \rho \leftarrow \min[(1 + \gamma)\rho, \beta] \end{cases}$$

使用 LBFGS 求解 $u_{0:N} \leftarrow \underset{u_{0:N}}{\operatorname{argmin}} \mathcal{L}_\rho(u_{0:N}, \mu)$ 。

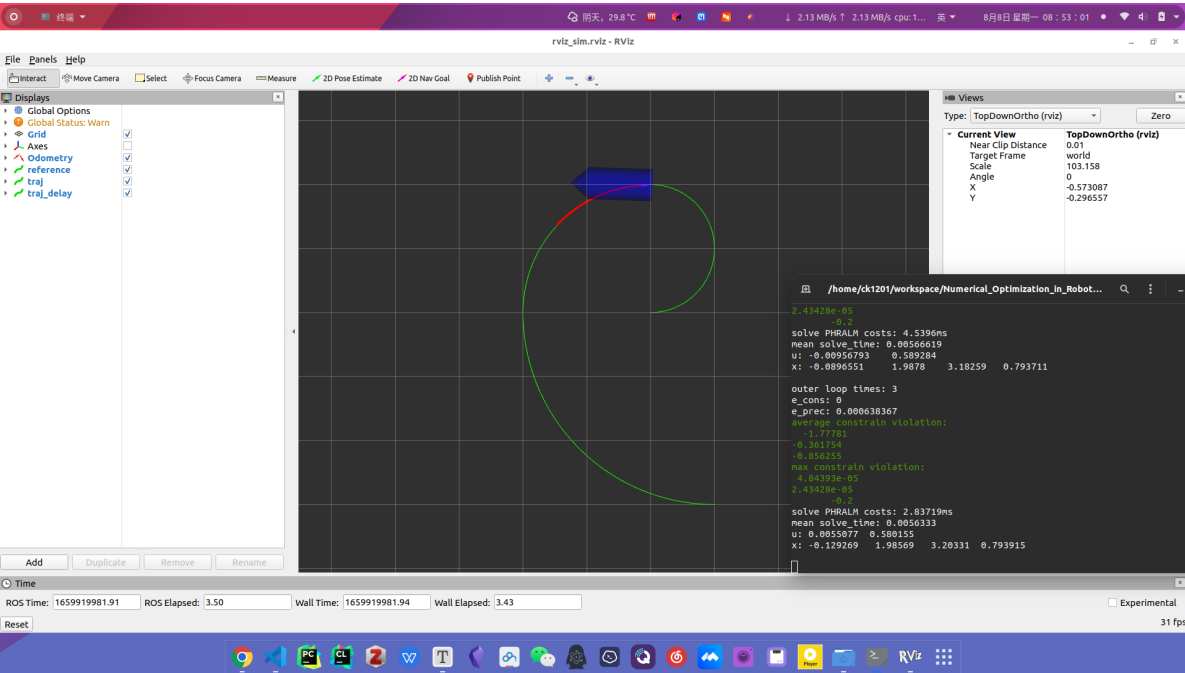
$$\frac{d}{du} \left(\frac{\rho}{2} \left\| \max \left[G(s_k(u_{0:N}), u_k) + \frac{\mu}{\rho}, 0 \right] \right\|^2 \right) = \begin{cases} \rho \left(G + \frac{\mu}{\rho} \right) \frac{dG}{du} & , \text{ if } G(s_k(u_{0:N}), u_k) + \frac{\mu}{\rho} > 0 \\ 0 & , \text{ otherwise} \end{cases}$$

设置系数如下表所示

系数	值	系数	值
ρ_{init}	1	λ_{init}	0
μ_{init}	0	γ	1
β	10^3	ξ	0.1
ϵ_{cons}	10^{-5}	ϵ_{prec}	10^{-3}

结果

演示视频见./attachments/HW3_3_example.mp4



Compare the constrain violation in Penalty Method and PHR-ALM

记录下分别使用 Penalty Method 和 PHR-ALM 时，约束 $G(s_k(u_{0:N}), u_k)$ 在整个轨迹跟踪阶段的平均值和最大值以及求解时间，结果如下表所示

	Penalty Average	Penalty Max	PHR-ALM Average	PHR-ALM Max
加速度 $a(m/s^2)$	-1.57412	0.00193741	-1.64372	8.86053e-05
前轮转角 $\delta(rad/s)$	-0.702643	0.00138958	-0.681276	2.43428e-05
速度 $v(m/s)$	-0.726147	0.000512305	-0.745466	-6.41998e-05

从结果可知，从平均值上看，两种方法都能使约束得到满足，且数值较接近。从最大值上看，Penalty Method 的违背程度在 10^{-3} 量级，而 PHR-ALM 的违背程度在 10^{-5} 量级。所以，PHR-ALM 在约束违背上比 Penalty Method 更好。在求解时间上，Penalty Method 的平均求解时间为 $6.07996ms$ ，PHR-ALM为 $3.89999ms$ ，同样是 PHR-ALM 更好。

